

23G 玻璃体切割系统硅油取出 30 例临床观察

吴东海, 张 悅, 蔡锦红, 伍端晓, 黄艳明

基金项目:国家自然科学基金资助(No. 81000385);福建省卫生厅青年科研课题(No. 2010-2-119)

作者单位:(361001)中国福建省厦门市,厦门大学附属厦门眼科中心

作者简介:吴东海,主治医师,研究方向:眼外伤。

通讯作者:蔡锦红,主任医师,研究方向:眼外伤. skycat1@163.com

收稿日期:2012-03-31 修回日期:2012-06-20

Clinical research of 30 patients underwent active removal of silicon oil with a 23-gauge transconjunctival sutureless vitrectomy system

Dong-Hai Wu, Yue Zhang, Jin-Hong Cai, Duan-Xiao Wu, Yan-Ming Huang

Foundation items: National Natural Science Foundation of China (No. 81000385); Health Department Research Projects of Youth, Fujian Province, China(No. 2010-2-119)

Xiamen Eye Center, Xiamen University, Xiamen 361001, Fujian Province, China

Correspondence to: Jin-Hong Cai. Xiamen Eye Center, Xiamen University, Xiamen 361001, Fujian Province, China. skycat1@163.com

Received: 2012-03-31 Accepted: 2012-06-20

Abstract

• AIM: To investigate the safety and efficacy of active removal of silicon oil with a 23 - gauge (23G) transconjunctival sutureless vitrectomy system.

• METHODS: Clinical records of 58 patients (58 eyes) enrolled in Xiamen Eye Center from February 2011 to June 2011 underwent removal of silicon oil with a 23G transconjunctival sutureless vitrectomy system(30 patients 30 eyes) or with standard 20 - gauge (20G) vitrectomy system(28 patients 28 eyes) were reviewed. The mean operation time and silicone oil removal time and the difference between preoperative and postoperative introcular pressure(IOP) levels and best-corrected visual acuity(BCVA) with two kinds system was compared by *t*-test. Rate of retinal reattachment and complications and postoperative comfort were also compared.

• RESULTS: The mean operation time was 21.81 ± 5.64 minutes(23G group) versus 35.43 ± 6.42 minutes (20G group), ($t = 6.382$, $P < 0.01$). The mean silicone oil removal time was 6.8 ± 2.76 minutes(23G group) versus 6.4 ± 2.41 minutes(20G group), ($t = 0.356$, $P > 0.05$). The preoperative and postoperative 1 day, 1 week, 3 months, 6 months BCVA between the two groups(23G group vs 20G group) were 0.35 ± 0.21 , 0.23 ± 0.22 , 0.26 ± 0.21 , 0.38 ± 0.27 ,

0.45 ± 0.26 ; 0.36 ± 0.28 , 0.10 ± 0.26 , 0.24 ± 0.27 , 0.37 ± 0.25 , 0.41 ± 0.23 . A statistically significant improvement in 23G group was found on postoperative day 1 than 20G group ($t = 1.753$, $P < 0.05$). No statistically significant difference were found on preoperative BCVA and postoperative 1 week, 3 months, 6 months($t = 0.584$, 0.474 , 0.583 , 0.652 , $P > 0.05$). The preoperative IOP and postoperative 1 day, 1 week, 3 months, 6 months between the two groups(23G group vs 20G group) were 18.3 ± 2.21 , 12.2 ± 2.42 , 15.2 ± 2.31 , 16.3 ± 2.97 , 16.5 ± 2.23 ; 17.6 ± 2.28 , 11.1 ± 2.47 , 16.4 ± 2.37 , 16.9 ± 2.27 , 17.4 ± 2.26 . No statistically significant difference in the preoperative and postoperative IOP between the two groups ($P > 0.05$). A statistically significant decrease in postoperative IOP was found on day 1 in each group ($t = 1.779$, 1.874 , $P < 0.05$). No statistically significant difference of postoperative IOP was found on 1 week, 3 months, 6 months was recorded in each group($P > 0.05$). Silicon oil was completely removed in 20G group. Two patients in 23G group remained a little silicon oil bubbles, and were absorbed postoperative 6 months. Retinal reattachment was achieved in all cases. Postoperative hypotony ($< 8\text{mmHg}$) was seen on postoperative day 1 in two groups, 20G group 2 eyes (7.14%) versus 23G group 4 eyes (13.33%), but all resolved spontaneously within 1 week. No other postoperative complications, such as vitreous hemorrhage, choroidal detachment, endophthalmitis, were noted on examinations during follow-up. Mean number of weeks discomfort of the eye after the operation: 0.85 ± 1.23 (23G group) vs 2.62 ± 1.23 (20G group), ($t = 5.942$, $P < 0.01$). Mean number of weeks the eye looked reddish after the operation: 1.15 ± 1.23 (23G group) vs 4.13 ± 2.38 (20G group), ($t = 5.753$, $P < 0.01$).

• CONCLUSION: Active removal of silicone oil through a 23G transconjunctival sutureless vitrectomy system is safe and effective.

• KEYWORDS: 23 - gauge transconjunctival sutureless vitrectomy; removal of silicon oil; sutureless

Citation: Wu HD, Zhang Y, Cai JH, et al. Clinical research of 30 patients underwent active removal of silicon oil with a 23 - gauge transconjunctival sutureless vitrectomy system. *Guoji Yanke Zazhi (Int Eye Sci)* 2012;12(8):1474-1477

摘要

目的:评价 23-Gauge (23G)玻璃体切割系统应用于硅油取出术的安全性和有效性。

方法:回顾分析厦门眼科中心 2011-02/06 连续收治的硅油填充患者 58 例 58 眼。30 例 30 眼应用 23G 玻璃体切割系统,28 例 28 眼应用 20G 玻璃体切割系统行硅油取出术

的临床资料。对两组平均手术时间、硅油取出时间,术前、术后1d;1wk;3,6mo的眼压、最佳矫正视力应用t检验进行比较分析。并对比两组网膜复位情况、并发症及患者舒适度。

结果:23G组与20G组平均手术时间为 21.81 ± 5.64 min及 35.43 ± 6.42 min($t=6.382, P<0.01$);平均硅油取出时间为 6.8 ± 2.76 min及 6.4 ± 2.41 min($t=0.356, P>0.05$)。术前、术后1d;1wk;3,6mo平均最佳矫正视力分别为:23G组: $0.35\pm0.21, 0.23\pm0.22, 0.26\pm0.21, 0.38\pm0.27, 0.45\pm0.26$;20G组: $0.36\pm0.28, 0.10\pm0.26, 0.24\pm0.27, 0.37\pm0.25, 0.41\pm0.23$ 。术前、术后1wk;3,6mo两组间平均最佳矫正视力差异无统计学意义(t 值分别为 $0.584, 0.474, 0.583, 0.652, P$ 均 >0.05);术后1d 23G组优于20G组($t=1.753, P<0.05$)。术前、术后1d;1wk;3,6mo平均眼压分别为:23G组: $18.3\pm2.21, 12.2\pm2.42, 15.2\pm2.31, 16.3\pm2.97, 16.5\pm2.23$;20G组: $17.6\pm2.28, 11.1\pm2.47, 16.4\pm2.37, 16.9\pm2.27, 17.4\pm2.26$ 。术前、术后两组间平均眼压差异无统计学意义($P>0.05$);术后1d两组平均眼压均较术前降低,组内差异有统计学意义($t=1.779, 1.874, P<0.05$),余时间点组内差异无统计学意义($P>0.05$)。20G组所有患者均一次性完整取出硅油,23G组2例残留少量硅油小泡,至末次随访时均自行吸收。术后两组视网膜均在位。并发症:术后1d 20G组出现2例(7%)低眼压患者,23G组出现4例(13%),均在术后1wk后好转。两组均未出现眼内出血、脉络膜脱离、眼内炎等并发症。23G组与20G组术后眼痛等不适的平均周数分别为 $0.85\pm1.23, 2.62\pm1.23$ wk($t=5.942, P<0.01$);术后眼红外观持续平均周数分别为 $1.15\pm1.23, 4.13\pm2.38$ wk($t=5.753, P<0.01$)。

结论:23G经结膜无缝线玻璃体切割系统应用于硅油取出术安全有效。

关键词:23G玻璃体切割系统;硅油取出术;无缝线

DOI:10.3969/j.issn.1672-5123.2012.08.13

引用:吴东海,张悦,蔡锦红,等. 23G玻璃体切割系统硅油取出30例临床观察. 国际眼科杂志 2012;12(8):1474-1477

0 引言

硅油应用于复杂玻璃体视网膜手术已有50a历史了^[1]。传统硅油取出手术缺点是手术切口较大,术后与此相关的低眼压、脉络膜脱离、视网膜再脱离等并发症发生率较高^[2]。近年来玻璃体视网膜手术向微创领域发展。能否应用微创手术器械行硅油取出术,特别是与传统20G手术切口相比较,具有何优劣势值得探讨。2011年我们应用23G经结膜无缝线玻璃体切割系统应用于硅油取出术取得很好疗效,现报道如下。

1 对象和方法

1.1 对象

1.1.1 资料来源 2011-02/06在厦门大学附属厦门眼科中心连续收治的58例58眼硅油填充眼患者,分别应用23G经结膜无缝线玻璃体切割系统及传统20G玻璃体切割系统行硅油取出术的临床资料。

1.1.2 患者一般情况 58例58眼均行硅油(5000cSt)填充术,其中30例30眼应用23G玻璃体切割系统行硅油取出术,28例28眼应用20G玻璃体切割系统行硅油取出

术。两组患者一般情况及病例分布情况分别见表1,2。记录所有患者手术时间及硅油取出时间;术前、术后1d;1wk;3,6mo的最佳矫正视力、眼压、硅油残留及网膜复位情况、有无并发症及术后眼痛、眼红外观情况。

1.2 方法

1.2.1 手术方法 手术均由同一医师完成,采用20g/L利多卡因、7.5g/L布比卡因各2mL等量球后神经阻滞麻醉。20G组采用标准的经平坦部巩膜穿刺,放置灌注管,取油针头连接负压吸引,术毕7-0丝线缝合巩膜、结膜切口^[3]。23G组应用23G经结膜无缝线玻璃体切割系统:取油装置准备:截取1cm长输液器塑料管(图1)。取10mL针筒,拔除针栓,尾端连接玻切机负压吸引器,头端连接截取好输液器塑料管(图2)。23G穿刺刀与穿刺平面成30°斜角斜形穿刺约3mm后改为垂直穿刺平面进入玻璃体腔,插入套管针DORC(Zuidland,荷兰),颞下方穿刺放置灌注管,取出鼻上或颞上方套管针硅胶帽(图3),预先准备好的取油管直接吸附套管针栓(图4),启动负压吸引(最高600mmHg)至硅油取净后伸入23G导光纤维检查网膜复位情况。拔除套管针,压迫穿刺点约30s,观察有无渗漏。如持续渗漏,7-0丝线缝合穿刺口1针。记录硅油取出时间及手术总时间。

1.2.2 随访时间 术后1d;1wk;3,6mo复查最佳矫正视力,眼压,观察有无眼内出血、眼内炎、脉络膜脱离等并发症及患者眼部疼痛等不适感、眼部红眼外观持续时间。58例患者随访时间6~9(平均7.1)mo。

统计学分析:采用SPSS 13.0统计学软件进行数据分析。两组间平均手术时间、硅油取出时间、术前术后眼压、视力及患者舒适度的比较采用均数t检验;对组内术前术后眼压的比较采用配对t检验;对两组低眼压、视网膜复位情况、并发症的分析采用Fisher's精确概率检验。 $P<0.05$ 为差异有统计学意义。

2 结果

2.1 手术时间 23G组与20G组平均手术时间为 $21.81\pm5.64, 35.43\pm6.42$ min,组间比较差异有统计学意义($t=6.382, P<0.01$);平均硅油取出时间为 $6.8\pm2.76, 6.4\pm2.41$ min,组间比较差异无统计学意义($t=0.356, P>0.05$)。

2.2 最佳矫正视力 术前、术后1wk;3,6mo两组间平均最佳矫正视力差异无统计学意义($P>0.05$);术后1d 23G组优于20G组($t=1.753, P<0.05$,表3)。

2.3 眼压 术前、术后两组间平均眼压差异无统计学意义($P>0.05$);术后1d两组平均眼压均较术前降低,组内差异有统计学意义($t=1.779, 1.874, P<0.05$),余时间点组内差异无统计学意义($P>0.05$,表4)。

2.4 硅油残留及网膜复位情况 20G组所有患者均一次性完整取出硅油,23G组2例残留少量硅油小泡,至末次随访时自行吸收。术后两组视网膜均在位。

2.5 并发症 术后1d 20G组出现2例(7%)低眼压(<8mmHg)患者,23G组出现4例(13%),差异无统计学意义(Fisher's精确概率检验, $P=0.256$)。经结膜囊涂妥布霉素地塞米松眼膏、阿托品凝胶、加压包扎等治疗均在术后1wk后好转。两组均未出现眼内出血、脉络膜脱离、眼内炎等并发症。

2.6 舒适度 23G组与20G组术后眼痛等不适的平均周数分别为 0.85 ± 1.23 及 2.62 ± 1.23 wk,差异有统计学意义

表 1 两组患者一般情况

组别	例数	年龄($\bar{x} \pm s$,岁)	性别比例(男:女)	硅油填充时间($\bar{x} \pm s$,d)
23G	30	37.4±8.5	24:6	92±12
20G	28	35.3±8.0	24:4	95±17

表 2 两组患者病例分布情况

	23G	20G
眼球穿通伤	13	11
增殖性糖尿病视网膜病变	7	8
孔源性视网膜脱离	9	8
眼内炎	1	1
无晶状体眼	18	14
有晶状体眼	6	5
人工晶状体眼	6	9



图 1 截取 1cm 长输液器塑料管。



图 2 取 10mL 针筒,拔除针栓,尾端连接玻切机负压吸引器,头端连接截取好输液器塑料管。



图 3 取出上方套管针硅胶帽。

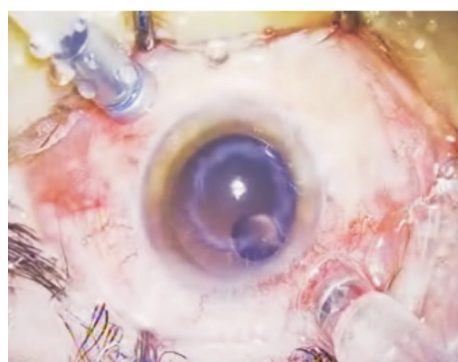


图 4 预先准备好的取油管直接吸附套管针栓,启动负压抽吸硅油。

表 3 两组术前术后平均最佳矫正视力

	23G 组	20G 组	组间比较
术前	0.35±0.21	0.36±0.28	$t=0.584, P>0.05$
术后 1d	0.23±0.22	0.10±0.26	$t=1.753, P<0.05$
术后 1wk	0.26±0.21	0.24±0.27	$t=0.474, P>0.05$
术后 3mo	0.38±0.27	0.37±0.25	$t=0.583, P>0.05$
术后 6mo	0.41±0.26	0.45±0.23	$t=0.652, P>0.05$

表 4 两组术前术后平均眼压

	23G 组	20G 组
术前	18.3±2.21	17.6±2.28
术后 1d	12.2±2.42	11.1±2.47
术后 1wk	15.2±2.31	16.4±2.37
术后 3mo	16.3±2.97	16.9±2.27
术后 6mo	16.5±2.23	17.4±2.26

注:1mmHg=0.133kPa。

($t=5.942, P<0.01$) ; 术后眼红外观持续平均周数分别为 1.15 ± 1.23 及 4.13 ± 2.38 wk, 差异有统计学意义 ($t=5.753, P<0.01$) 。

3 讨论

2005 年 Eckardt 等^[4]首次将 23G 经结膜无缝线玻璃体切割系统应用于临床, 和 20G 玻璃体切割系统相比具有对球结膜、巩膜极小的手术创伤、没有缝线相关的炎症反应及不适感、术后散光, 不影响部分患者二次滤过手术等优点。能否应用微创手术行硅油取出值得探讨, 本研究旨在探讨 23G 玻璃体切割系统在硅油取出效率及手术方便快捷方面较传统 20G 有何优势, 并评价其安全性和有效性。

以往对于硅油取出术多采用经角膜缘切口或传统 20G 经平坦部切口, 前者在硅油取出术后无法再行眼内光凝或剥膜等后节操作。后者因手术切口相对较大(器械直径 0.9mm), 术前需行做球结膜、巩膜穿刺口, 术后需缝合巩膜、结膜切口。23G 手术器械直径 0.6mm, 术后可实现切口免缝合, 从而缩短了手术时间。本研究中两组平均手术时间差异证实了 23G 技术在节省手术时间方面较 20G 有着明显优势。而在硅油取出时间上, 两组无明显差异, 分析原因可能是: 本研究中 23G 取油针头从外部吸附套管针栓, 充分利用了管腔内径, 尽可能减少了硅油流出阻力, 且利用负压造成球结膜填塞于取油针头与针栓间, 造成良好的密闭性, 提高了硅油取出效率。

本研究中术后 1d 最佳矫正视力 23G 组优于 20G 组, 而之后两组视力无统计学差异。Narayanan 等^[5]的研究与本研究结论相似。Shinoda 等^[6]的研究表明 23G 系统流量 (244mL) 较 20G 系统流量 (416mL) 明显减小。分析 23G 组早期视力较好的原因: 23G 系统由于管径较小, 术中灌注液流速较慢, 由此术后产生的炎症及眼组织水肿较轻, 利于术后早期视力恢复。

两组术后第1d眼压均较术前偏低,且均出现了低眼压患者。23G组中4例低眼压患者术后均出现切口处结膜水肿,1wk后水肿消失后眼压亦恢复正常,可能是由于手术切口未缝合部分病例术后早期伤口渗水,导致眼压偏低。20G组中出现2例低眼压患者,经荧光素染色未发现切口渗漏,UBM检查发现睫状体脱离。研究也表明硅油取出术后眼压偏低可能与术后睫状体的脱离、房水生产减少或流出增加等有关^[7-9]。Lee等^[10]通过UBM发现在硅油取出术后第1d所有患者睫状体厚度显著增加并在术后第2或3d达到高峰,至术后1mo恢复至术前水平。

23G组术后眼红时间及眼痛等不适时间较20G组明显缩短,临幊上我们也观察到患者自诉23G术后眼部舒适度强于20G组。分析原因可能是23G组由于手术切口小,无需缝线,手术时间短,由缝线导致的异物感、眼痛、术后炎症反应较20G轻。Mentens等^[11]的研究也取得了相类似的结论。

20G组均一次性完整取出硅油,而23G组有2例残留硅油小泡,均发生于有晶状体眼患者,分析主要原因是23G套管针较短(7mm),不容易在直视下完整吸取最后一滴油泡;巩膜穿刺口直径较小不易自行溢出。但随访过程中油泡可自行吸收,未造成严重并发症。

总之,23G经结膜无缝线玻璃体切割系统应用于硅油取出术安全有效,与传统20G玻璃体切割系统比较具有手术时间短,术后早期视力恢复快,术后患者舒适度高等优点。潜在的风险是术后早期低眼压发生率较高。仍需更大样本及更长的随访观察。

参考文献

- 1 Cibis PA, Becker B, Okun E, et al. The use of liquid silicone in retinal detachment surgery. *Arch Ophthalmol* 1962;68(2):590-599
- 2 Fletcher ME, Peyman GA. A simplified technique for the removal of liquid silicone from vitrectomized eyes. *Retina* 1985;5(3):168-171
- 3 Kampik A, Gandorfer A. Silicone oil removal strategies. *Semin Ophthalmol* 2000;15(2):91-99
- 4 Eckardt C. Transconjunctival sutureless 23-gauge vitrectomy. *Retina* 2005;25(2):208-211
- 5 Narayanan R, Sinaha A, Reddy RK, et al. Faster visual recovery after 23-gauge vitrectomy compared with 20-gauge vitrectomy. *Retina* 2010;30(9):1511-1514
- 6 Shinoda H, Shinoda K, Satofuka S, et al. Visual recovery after vitrectomy for macular hole using 25-gauge instruments. *Acta Ophthalmol* 2008;86(2):151-155
- 7 Arevalo JF, Garcia RA, Fernandez CF. Anterior segment inflammation and hypotony after posterior segment surgery. *Ophthalmol Clin North Am* 2004;17(4):527-537
- 8 Roters S, Engels BF, Szurman P, et al. Typical ultrasound biomicroscopic findings seen in ocular hypotony. *Ophthalmologica* 2002;216(2):90-95
- 9 Nehemy MB, Zisman M, Marigo FA, et al. Ultrasound biomicroscopy after vitrectomy in eyes with normal intraocular pressure and in eyes with chronic hypotony. *Eur J Ophthalmol* 2008;18(4):614-618
- 10 Lee GH, Ahn JK, Park YG. Intravitreal triamcinolone reduces the morphologic changes of ciliary body after pars plana vitrectomy for retinal vascular diseases. *Am J Ophthalmol* 2008;145(6):1037-1044
- 11 Mentens R, Stalmans P. Comparison of postoperative comfort in 20gauge versus 23 gauge pars plana vitrectomy. *Bulletin de la Société belge d'ophtalmologie* 2009;311(2):5-10